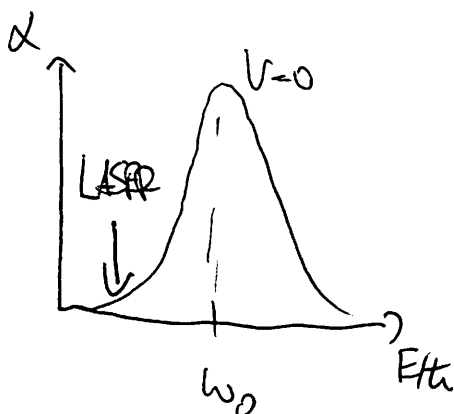


(115)

## Laser Kühlung



$V=0$ , es findet kein Absorben von Licht im Atom statt.

$V$  nach links  $\Rightarrow$  rotverschiebung gegen rechten CFSR  
blauverschiebung gegen linken LASER

Photon wird bewegt von links nach rechts absorbiert.

Bw gibt Atmosphäre dies Photon muss andr. dv

Impuls des Photons ~~übertragen~~ aufgenommen werden

$$p = \frac{h}{\lambda}$$

d.h. es wird ein Impuls nach rechts auf das Atom übertragen. Es wird abgebremst, d.h. kinetische Energie sinkt. Temperatur sinkt.

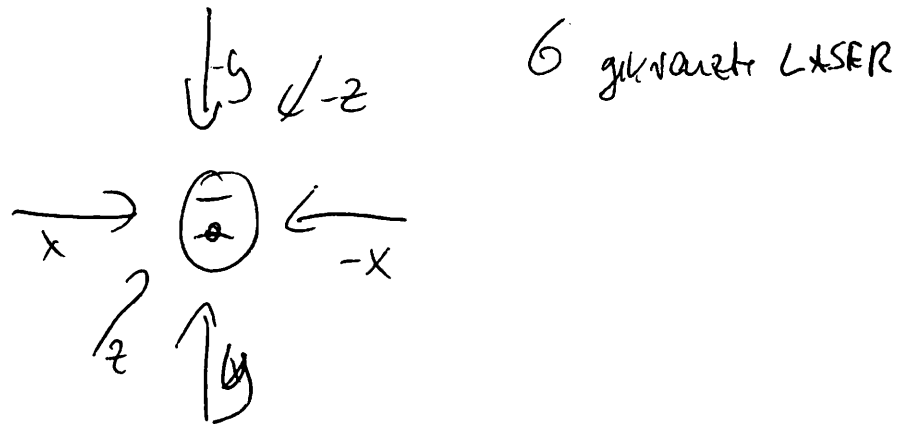
Analog für Atom mit  $V$  nach rechts.

Die Spontane Emission bzw. Anregung erfolgt isotrop in alle Raumrichtungen, d.h. in mittel über viele Absorptions und Emissionsprozesse wird gelt  $V \rightarrow 0$ .

LASER Kühlung

(116)

In 3D



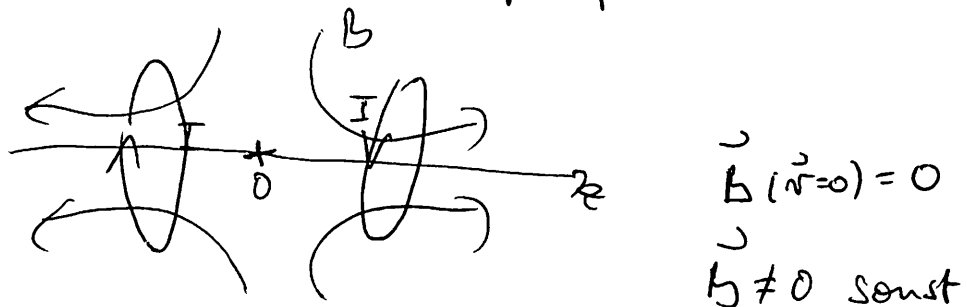
6 gekreuzter L&amp;SER

Atome werden abgelenkt aber nicht gefangen. Keine Rückstellkraft  
für  $\vec{r} = 0$ .

Da Atome elektrisch neutral sind, kann elektrostatische Fokussierung  
die Atome nicht einsperren.

Magnetfeld?

inhomogenes Magnetfeld eines  
"anti"-Helmholz-Spulenpaares.

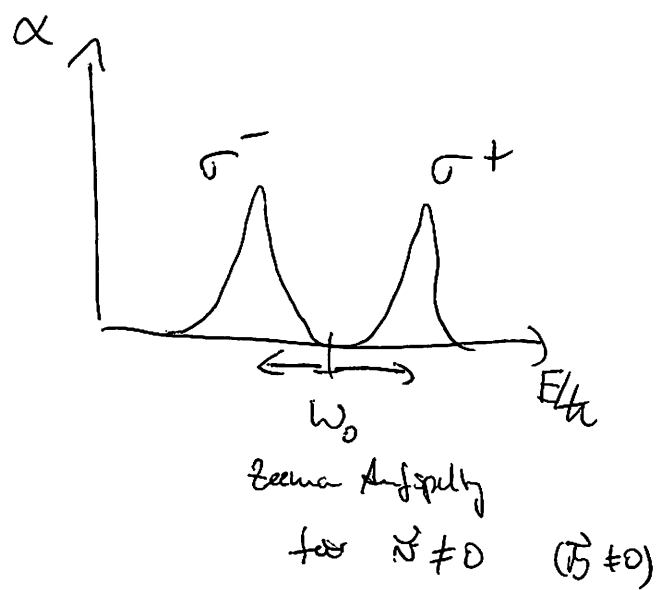


$$\vec{B}(\vec{r}=0)=0$$

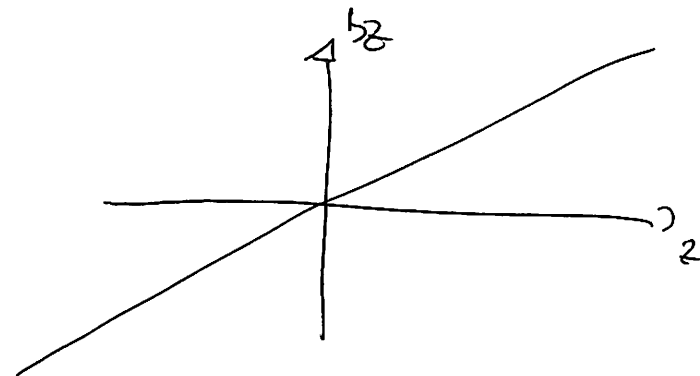
$$\vec{B} \neq 0 \text{ sonst}$$

(M)

② Zeeman-Effekt spaltet die <sup>Niveaus</sup> ~~Wälder~~ der Atome auf.

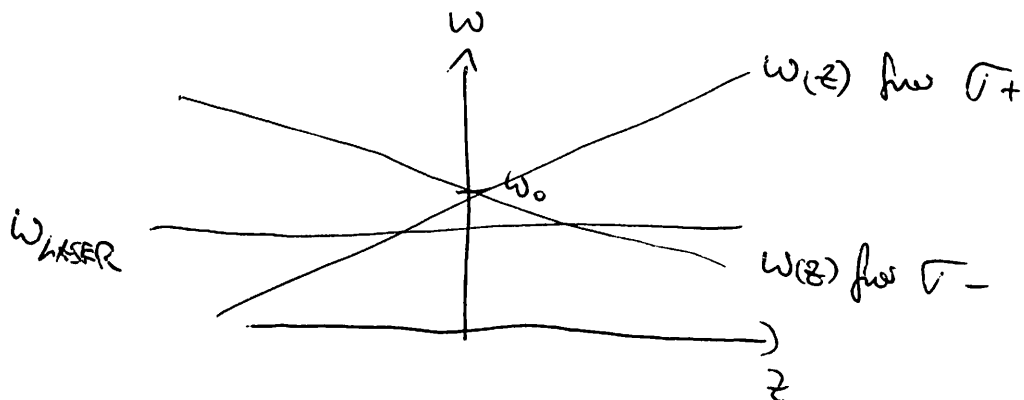


Entlang z - Achse



118

$V=0$



für  $E=0$  ist die Winkelgeschwindigkeit gleich für  $T^+$  oder  $T^-$  Photonen, ~~d.h.~~ Photonen zu absorbieren.  $\Rightarrow$  keine Netto Impulsübertrag, keine Kraft.

für  $E>0$  wird die Winkelgeschwindigkeit der  $T^-$  Photonen von links nach rechts zu Absorption größer als dies von rechts mit  $T^+$    
  $\rightarrow$  effektive Kraft nach rechts oder Rückstellkraft

Analog für  $E<0$

Fallenwirkung

analog für  $x$  und  $y$  Achse)

Bei 6 LASERN ergibt sich also Fallpotential + Laser kraft

$\leadsto$  Fallkraft

Es lassen sich Temperaturen im nK Bereich steuern!

$\leadsto$  Dose Elektronen kondensieren, dann spektiv kalt  
Wenn was Vielteilchenphysik machen!

MG

## Magnetischer Dipol im spin $\mu$

Mathematisch völlig analog zu unserer Rechnung mit elektrischen Dipolüberlappungen nur mit Matrixelement

$$\langle g_j/\mu_B \vec{B} \cdot \hat{\vec{J}} \rangle$$

Kein Radikalcharakter, kein Aufwand

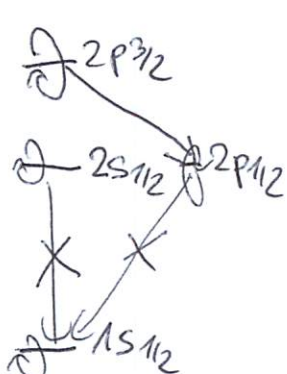
$$\cancel{\Delta m = 0, \Delta l = 0} \quad \text{oder} \quad \Delta m_J = 0, \pm 1$$

Mit ~~spin~~ Spin Dreh

$$\Delta h = 0 \quad \Delta l = 0 \quad \Delta j = 0, \pm 1 \quad \Delta m_j = 0, \pm 1$$

$$b=0$$

$$b \neq 0$$



$$2p_{3/2} \quad \frac{3}{2} \quad \frac{1}{2}$$

$$\frac{1}{2} \quad -1/2$$

$$-3/2$$

$\Delta m_j = 0 \rightarrow v = 0$   
Keine Röntgen  
Emission

Elektronenspinsomanz

$$\Delta E = \hbar \omega = \pm g_j \mu_B B_0$$

$$\vec{B}_0 \parallel z \quad +\text{zentralkräfte} \rightarrow \text{feld}$$

$$\text{mit } \vec{B} = \vec{B}_0 \cos \alpha$$

$$\vec{B} \perp \vec{B}_0$$

Für  $B = 0.5 T$  ergeben sich für je nach  $g_j$  Frequenzen von ca 10 GHz

→ Mikrowellenabsorber

oft fwhm konstant und  $B_0$  Abwinkeln → Ursache

→ Folie

(120)

## Kernspinspektoren

analoge Röhre mit  $\frac{1}{T}$  und  $g_F \mu_N B_0 T$  Werte für ca. 1800 Radh  
Kern d.h.

$0,3 T \Rightarrow 10 \text{ kHz}$  Radiosender

→ Toller

121

## 4.4. Der Stark Effekt (Kurst)

Atome im elektrostatischen Feld d

Beobachtung: Linearer Stark Effekt (Ausnahme)

Linien spalten linear mit anwesendem Feld auf

Quadratischer Stark Effekt (Reziprof Fall)

Linien spalten quadratisch mit anwesendem Feld auf

$$\text{Störung } V_{\text{Stark}} = -e \vec{E} \cdot \vec{r} \quad \vec{E} \parallel \vec{z} \quad \text{ohne Einheit}$$

der Allgemeinheit

Störung 1. Ordnung

$$\Delta E = -e \vec{E}_z \langle \Psi | z | \Psi \rangle$$

↑  
ungerade Parität

⇒ Falls  $\Psi$  gerade oder ungerade Parität ist, so ist

$$\langle \Psi | z | \Psi \rangle = 0$$

Zur Erinnerung Parität  $\Rightarrow (-1)^{-l}$ 

⇒ Linearer Stark Effekt nur bei Entartung mehrfach

z.B.  $2p_{1/2}$  und  $2s_{1/2}$  sind entartet

$$\text{z.B. } \Psi = \frac{1}{2} (\Psi_{2p_{1/2}} + \Psi_{2s_{1/2}})$$

$$\Rightarrow \Delta E = \frac{1}{2} \langle \Psi_{2p_{1/2}} + \Psi_{2s_{1/2}} | z | \Psi_{2p_{1/2}} + \Psi_{2s_{1/2}} \rangle$$

$$= \frac{1}{2} \left( \langle \Psi_{2p_{1/2}} | z | \Psi_{2s_{1/2}} \rangle + \langle \Psi_{2s_{1/2}} | z | \Psi_{2p_{1/2}} \rangle + \right.$$

Parität:  $\begin{matrix} (+1) & (-1) & 1 & 1 & -1 & -1 \end{matrix}$

$$\left. \underbrace{\langle \Psi_{2p_{1/2}} | z | \Psi_{2p_{1/2}} \rangle}_{0} + \underbrace{\langle \Psi_{2s_{1/2}} | z | \Psi_{2s_{1/2}} \rangle}_{0} \right)$$

(122)

Für den Quadratikdruck führt nicht ~~die~~ Störung Störung

1. Ordnung nichts aus.

$\Rightarrow$  Störung 2. Ordnung

$$H = H_0 + \alpha H'$$

$$(H_0 + \alpha H') (U_n + \alpha q_n^{(1)} + \alpha^2 q_n^{(2)}) = (E_n + \alpha E_n^{(1)} + \alpha^2 E_n^{(2)}) (U_n + \alpha q_n^{(1)} + \dots)$$

Störung 2. Ordnung sind Fehler  $\propto \alpha^2$

$$E_n^{(2)} = \sum_{n \neq m} \frac{|\langle U_n | H' | U_m \rangle|^2}{E_m^0 - E_n^0}$$

↑

Änderung der Energie in 2. Ordnung der Anfangs  $U_n$ .

Physikalische Erklärung

Atomare Wellenfunktionen ~~sind~~ sind entweder symmetrisch oder antisymmetrisch (Parität) und damit  $R^2$  symmetrisch

$\Rightarrow$  Kein Dipolmoment

Anlegen eines Feldes erzeugt ein Dipolmoment, welches proportional zu  $E$  ist, welches dann mit  $E$  zu einer Vierpotenzwurzel führt,